

Tafeln

Autor(en): **[s.n.]**

Objektyp: **Appendix**

Zeitschrift: **Eclogae Geologicae Helvetiae**

Band (Jahr): **42 (1949)**

Heft 2

PDF erstellt am: **26.09.2024**

Nutzungsbedingungen

Die ETH-Bibliothek ist Anbieterin der digitalisierten Zeitschriften. Sie besitzt keine Urheberrechte an den Inhalten der Zeitschriften. Die Rechte liegen in der Regel bei den Herausgebern.

Die auf der Plattform e-periodica veröffentlichten Dokumente stehen für nicht-kommerzielle Zwecke in Lehre und Forschung sowie für die private Nutzung frei zur Verfügung. Einzelne Dateien oder Ausdrucke aus diesem Angebot können zusammen mit diesen Nutzungsbedingungen und den korrekten Herkunftsbezeichnungen weitergegeben werden.

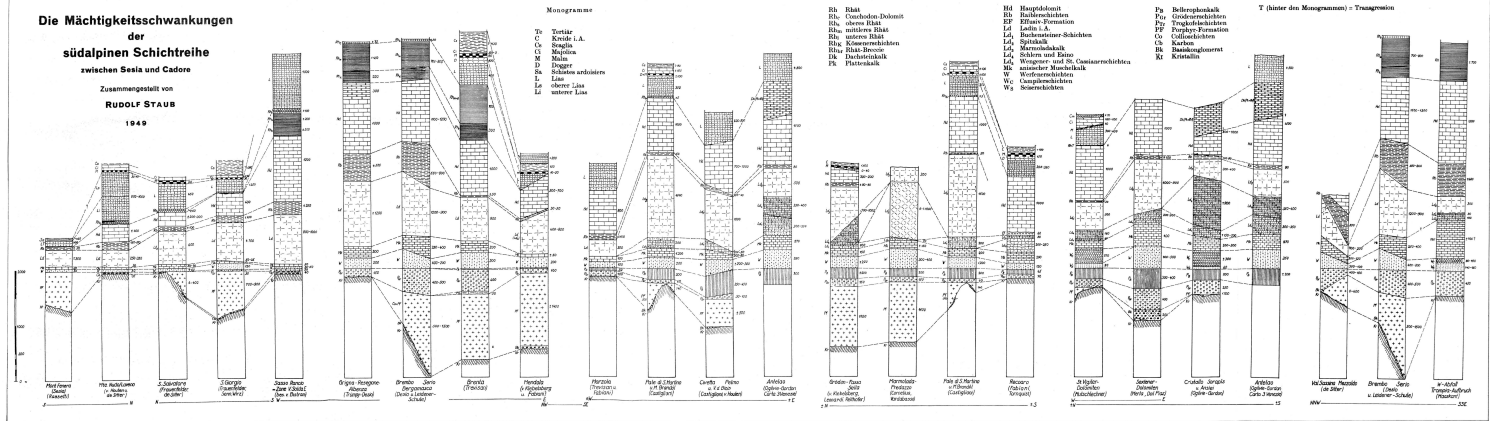
Das Veröffentlichen von Bildern in Print- und Online-Publikationen ist nur mit vorheriger Genehmigung der Rechteinhaber erlaubt. Die systematische Speicherung von Teilen des elektronischen Angebots auf anderen Servern bedarf ebenfalls des schriftlichen Einverständnisses der Rechteinhaber.

Haftungsausschluss

Alle Angaben erfolgen ohne Gewähr für Vollständigkeit oder Richtigkeit. Es wird keine Haftung übernommen für Schäden durch die Verwendung von Informationen aus diesem Online-Angebot oder durch das Fehlen von Informationen. Dies gilt auch für Inhalte Dritter, die über dieses Angebot zugänglich sind.

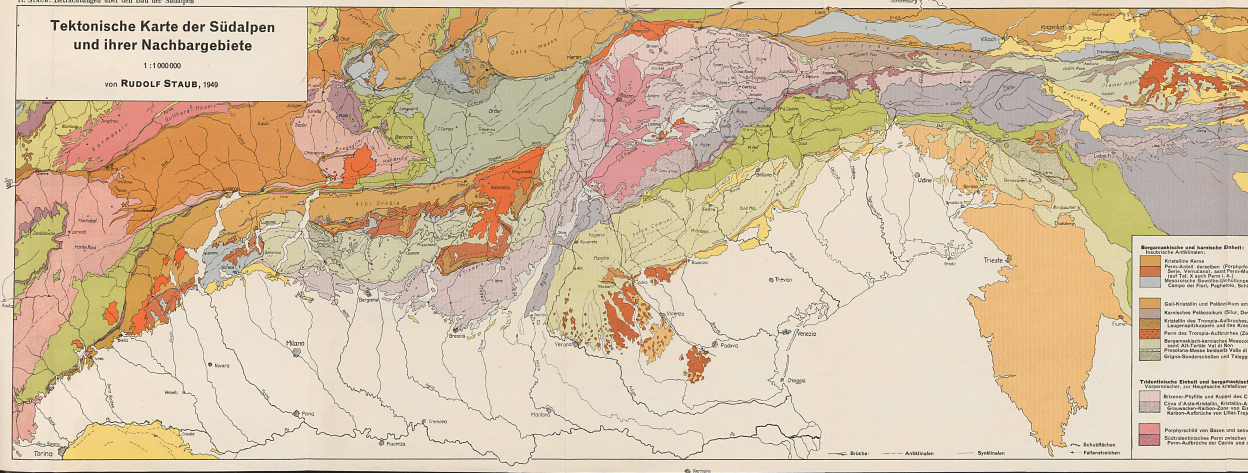
Die Mächtigkeitsschwankungen der südlichen Schichtreihe zwischen Sesia und Cadore

Zusammengestellt von
RUDOLF STAUB
1949



Tektonische Karte der Südalpen und ihrer Nachbargebiete

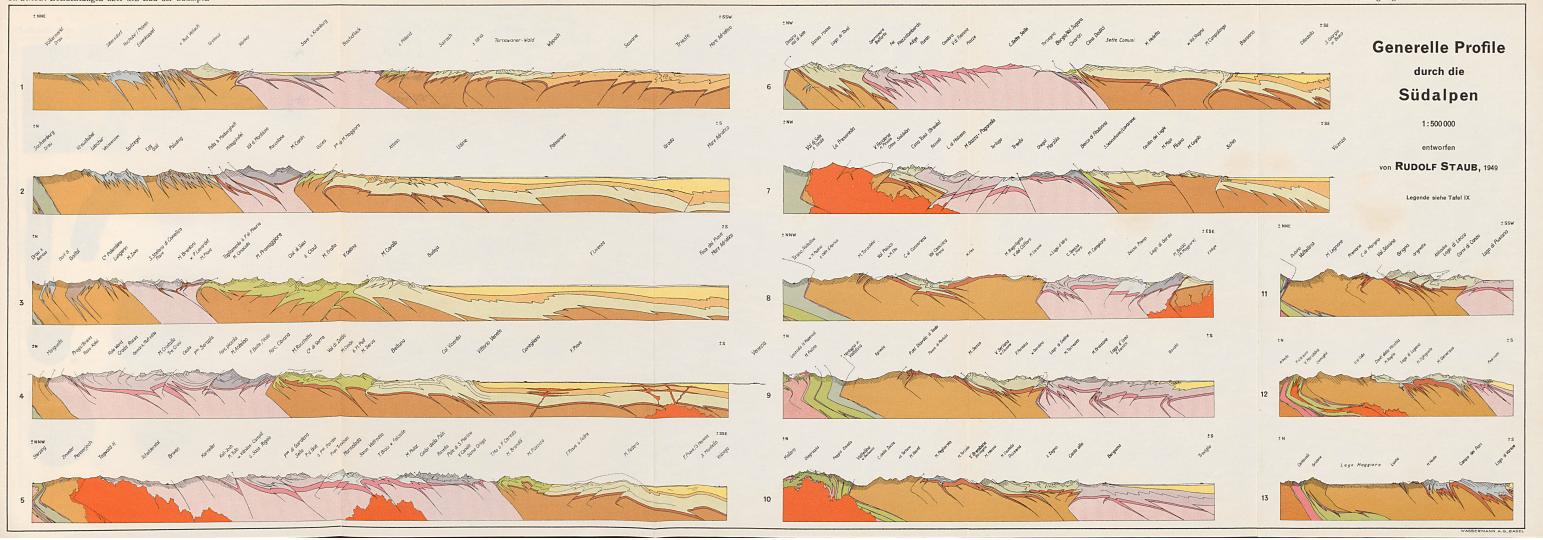
1:1.000.000
von **RUDOLF STAUB**, 1949

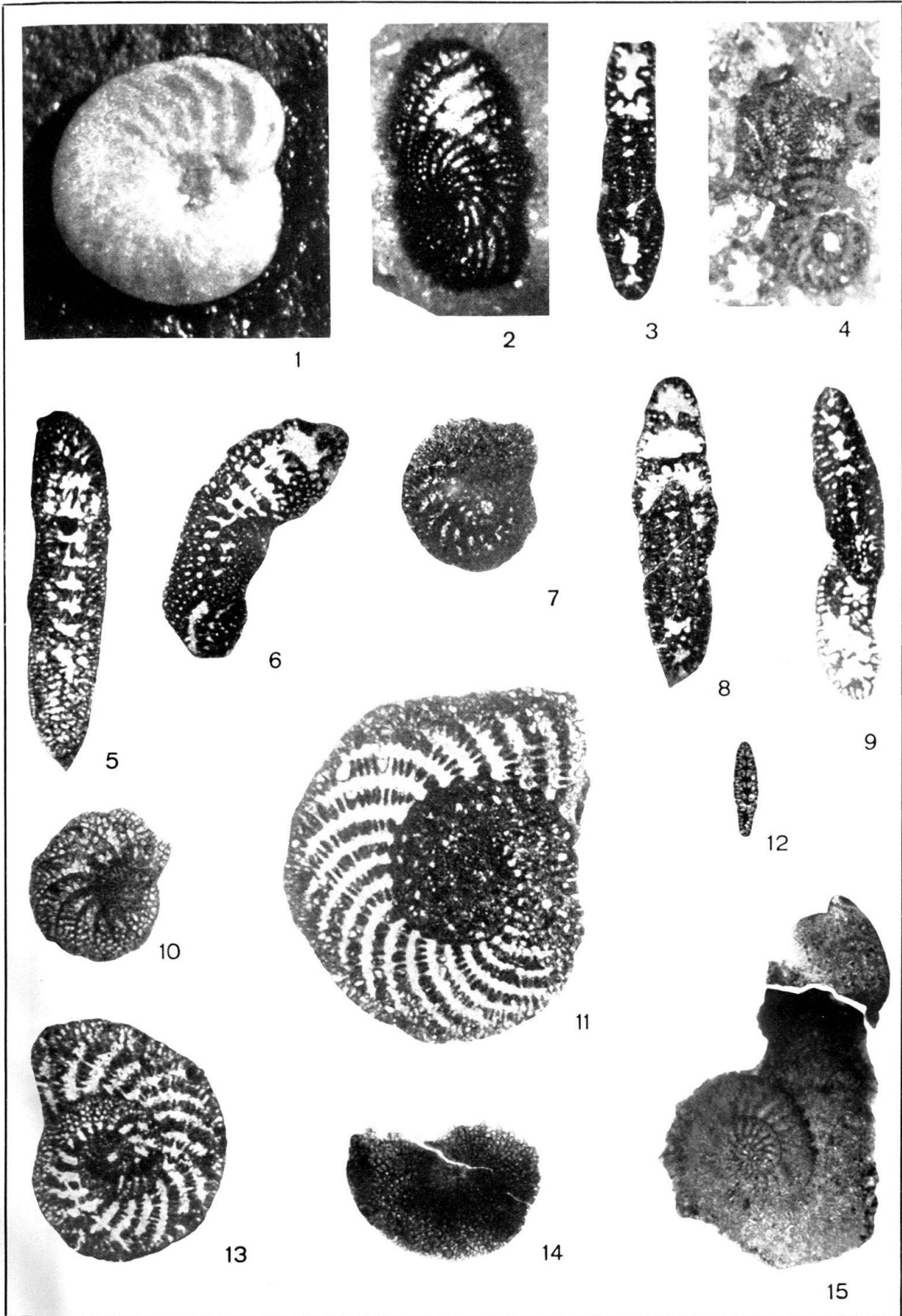


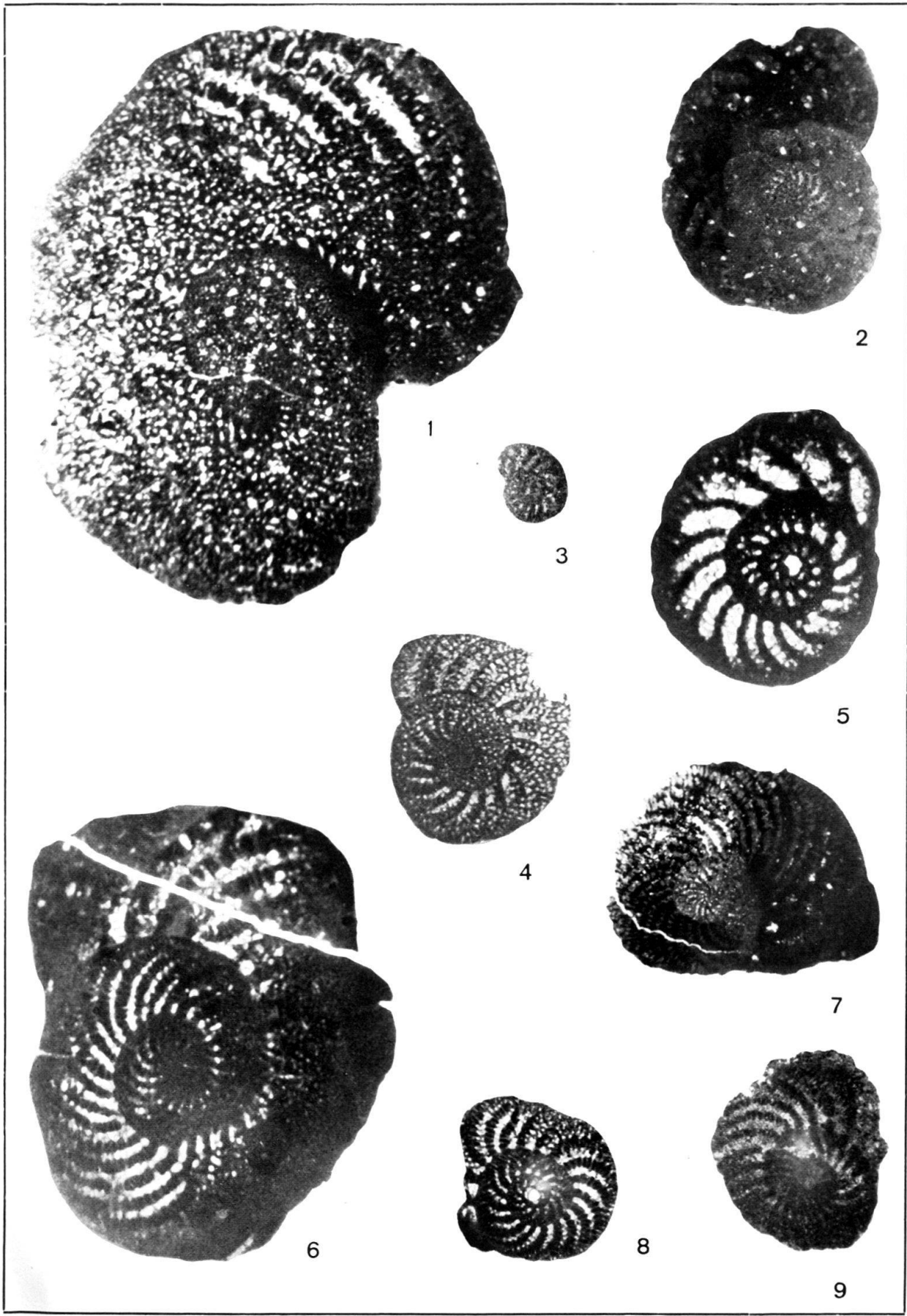
- **Autogene Zentralsäule**
- Aus- und Einbruchstufen
- Metaklastische Sedimente**
- Aufschichten und Haltungsflächen
- Talunablagerungen**
- System des Trentino-Deckens, Farnese, de Rorzi und Unterengadiner - Paläozoischer Karbonat-Decken und Zone von Rio Sauro - Seno
- Trias und Oberjuras**
- System des Venediger-Deckens und der Region Ostalpe, Südalpen-Decke und Brenta-Becken
- Untere Kreide und Mesozoikum**
- System des Mesozoikums, Mesozoikum des Karawanken Systems, Südalpen-Decke, Nord- und Süd-Tyroler Decke
- Mesozoikum**
- Carintho-Deckungs, west Adla-Decke u. Weißbühl-Talun-Decken
- Mesozoikum und Perm**
- Mesozoikum der Südalpen, Mesozoikum der Unterengadiner (C. Dolomiten-Decke) u. Mesozoikum der Unterengadiner (C. Dolomiten-Decke) u. Mesozoikum der Unterengadiner (C. Dolomiten-Decke)
- Oligozän**
- Karawanken-Decke, Karawanken-Decke, Karawanken-Decke
- Paläozoikum**
- Karawanken-Decke, Karawanken-Decke, Karawanken-Decke

- Tektonische Einheiten**
- Kriessler Kette
 - Paläozoikum der Unterengadiner (C. Dolomiten-Decke) u. Mesozoikum der Unterengadiner (C. Dolomiten-Decke)
 - Karawanken-Decke, Karawanken-Decke, Karawanken-Decke
 - Südalpen-Decke, Südalpen-Decke, Südalpen-Decke
 - Unterengadiner (C. Dolomiten-Decke) u. Mesozoikum der Unterengadiner (C. Dolomiten-Decke)
 - Mesozoikum der Unterengadiner (C. Dolomiten-Decke) u. Mesozoikum der Unterengadiner (C. Dolomiten-Decke)
- Tektonische Einheiten**
- Karawanken-Decke, Karawanken-Decke, Karawanken-Decke
 - Südalpen-Decke, Südalpen-Decke, Südalpen-Decke
 - Unterengadiner (C. Dolomiten-Decke) u. Mesozoikum der Unterengadiner (C. Dolomiten-Decke)
 - Mesozoikum der Unterengadiner (C. Dolomiten-Decke) u. Mesozoikum der Unterengadiner (C. Dolomiten-Decke)
- Verfahren**
- Faulting
 - Folds
 - Thrusts
 - Normal faults
 - Strike slips

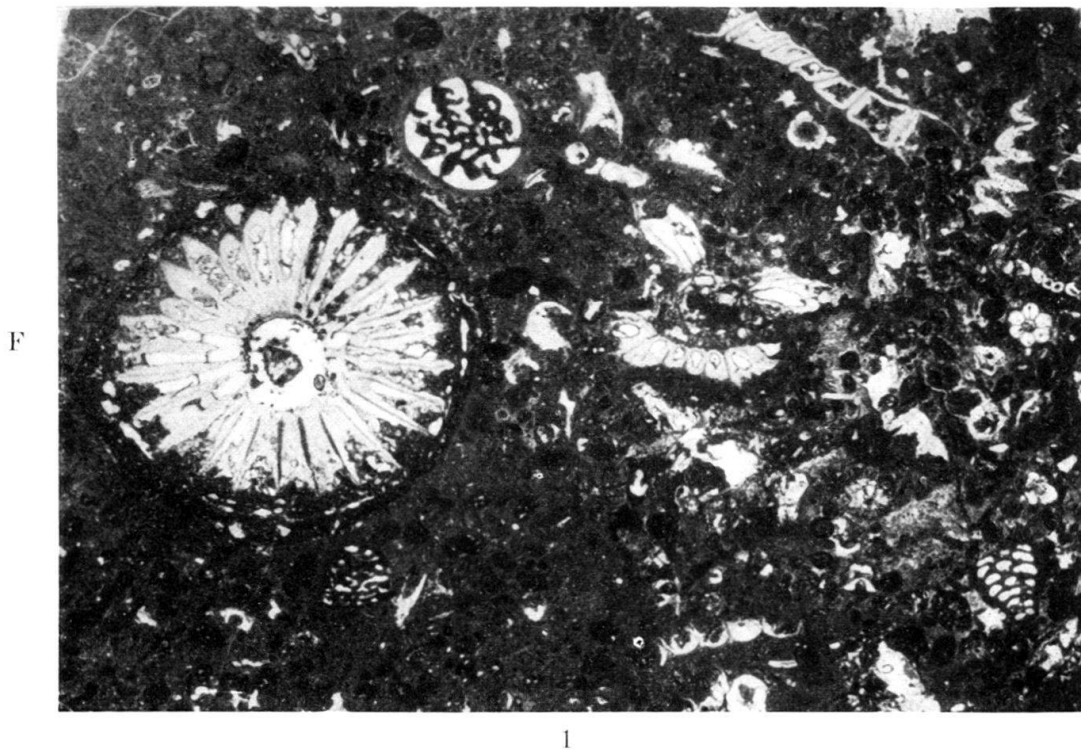
NB: Die angegebenen Angaben sind nur orientierend zu verstehen und nicht verbindlich zu sein.



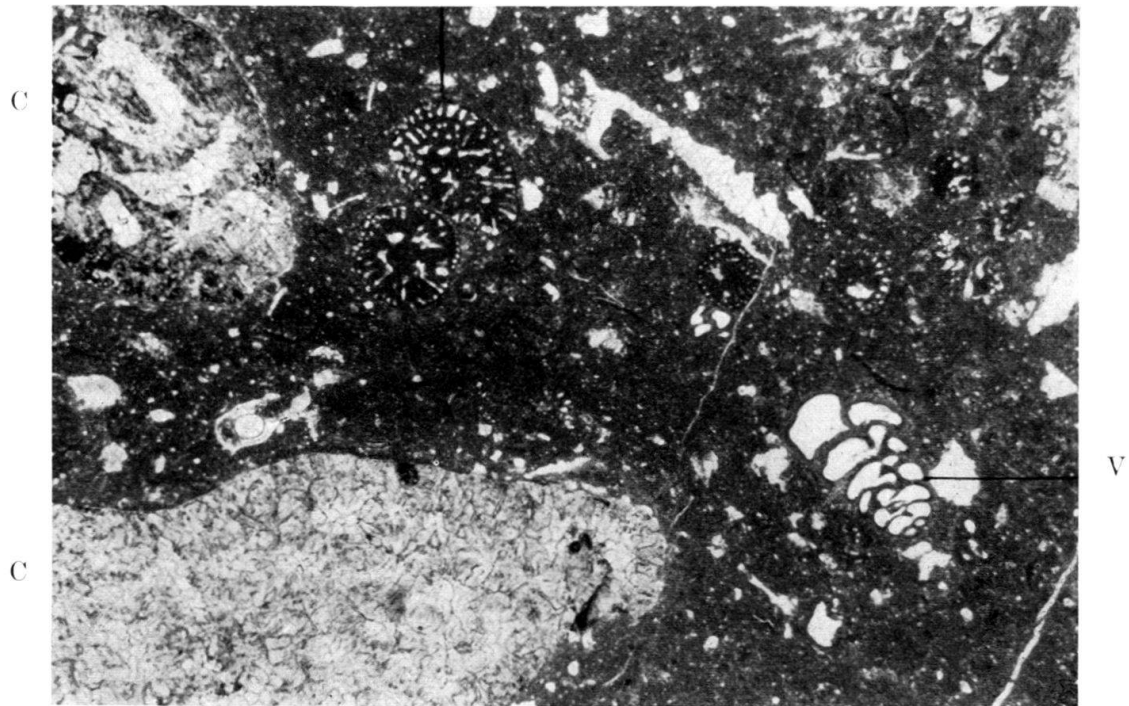




D



A



2

Fig. 1. *Clypeina* aff. *jurassica* FAVRE (F), und ?*Dukhanina* sp. (D). Elatos-Pass zwischen Amphissa und Lidorikion im mittellgriechischen Kionagebirge. 10 ×.

Fig. 2. *Valvulinella jurassica* HENSON (A), *Valvulina* sp. (V) und *Cladocoropsis* (C). Salima-Tal im Libanon. Erste Gesteinsprobe. 15 ×.

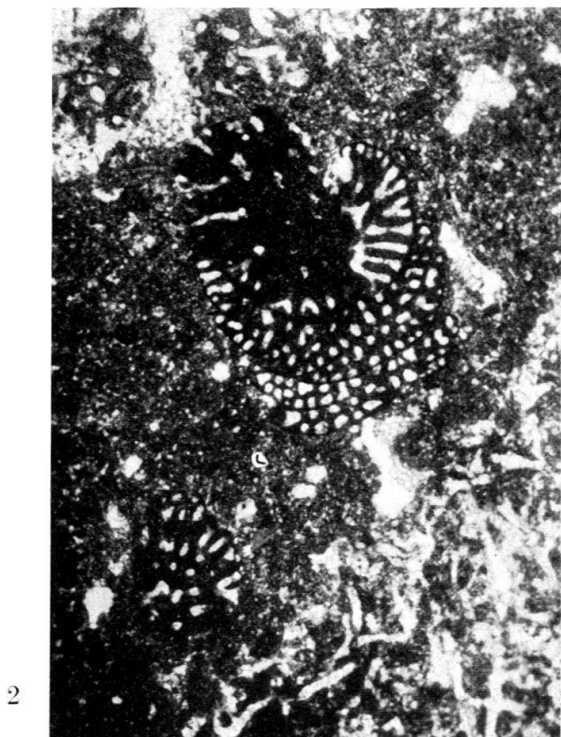
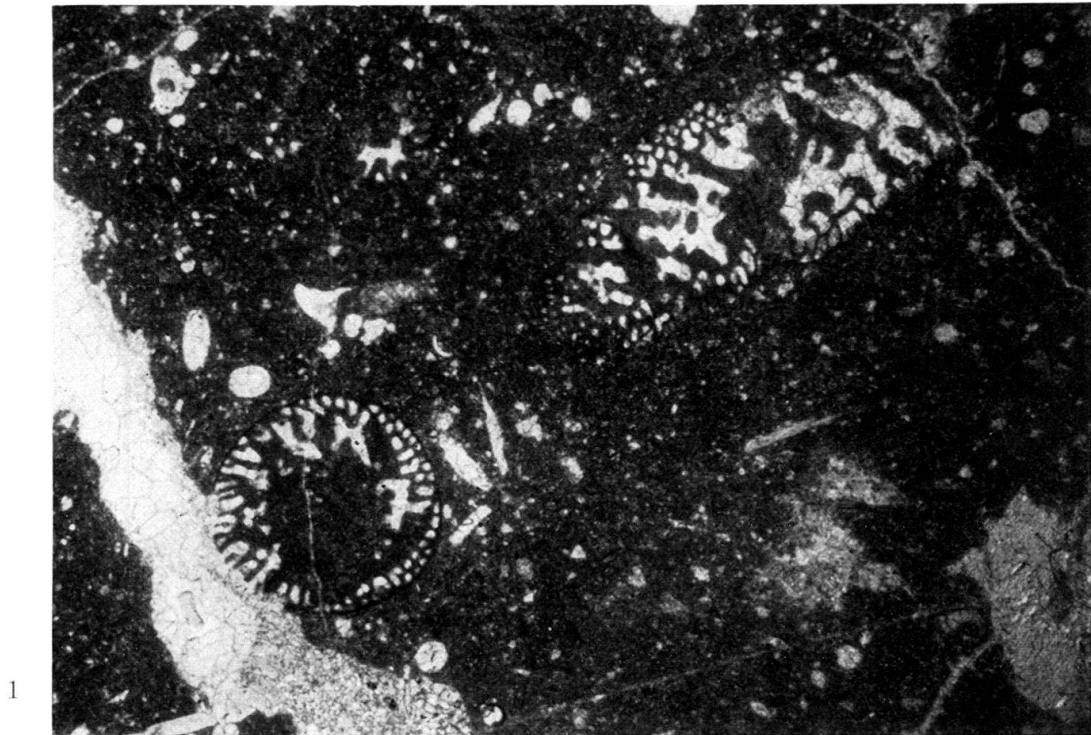
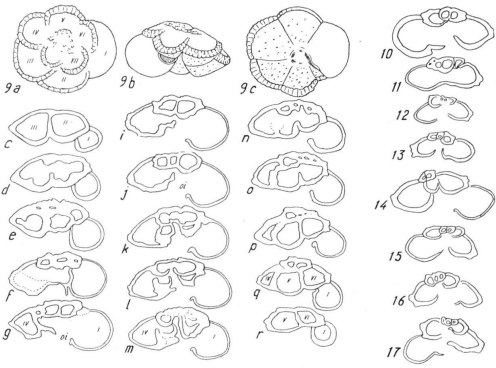


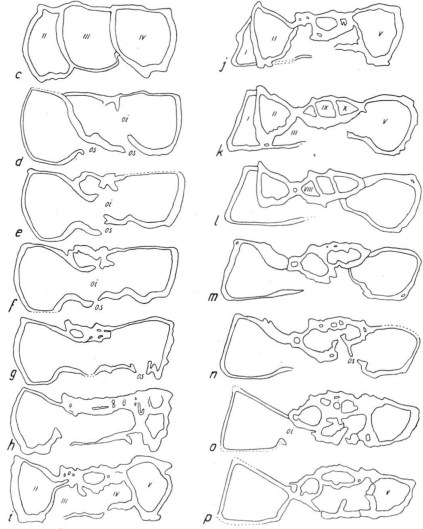
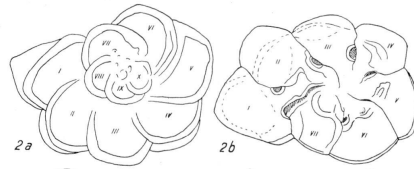
Fig. 1. *Valvulinella jurassica* HENSON. Wadi el Karn im Antilibanon. 30 ×.

Fig. 2. *Valvulinella* cf. *wellingsi* HENSON. Salima-Tal im Libanon. 30 ×.

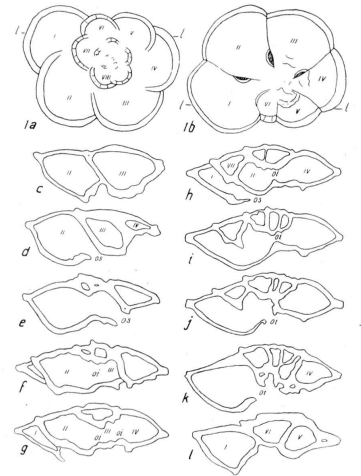
Fig. 3. *Valvulinella jurassica* HENSON. Salima-Tal im Libanon. Zweite Gesteinsprobe. 30 ×.



9a-r, 10-17. *Globotruncana stephani* GANDOLFI.

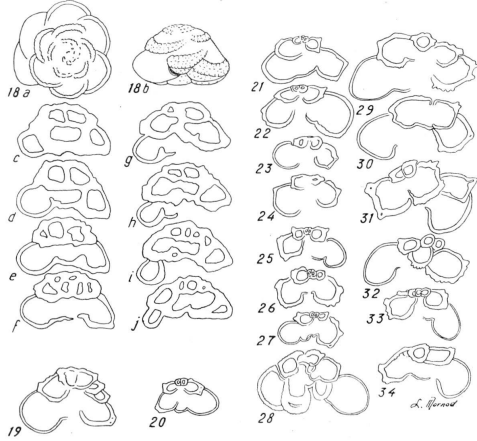


2a-p, 3-8. *Rotalipora reicheli* n. sp.

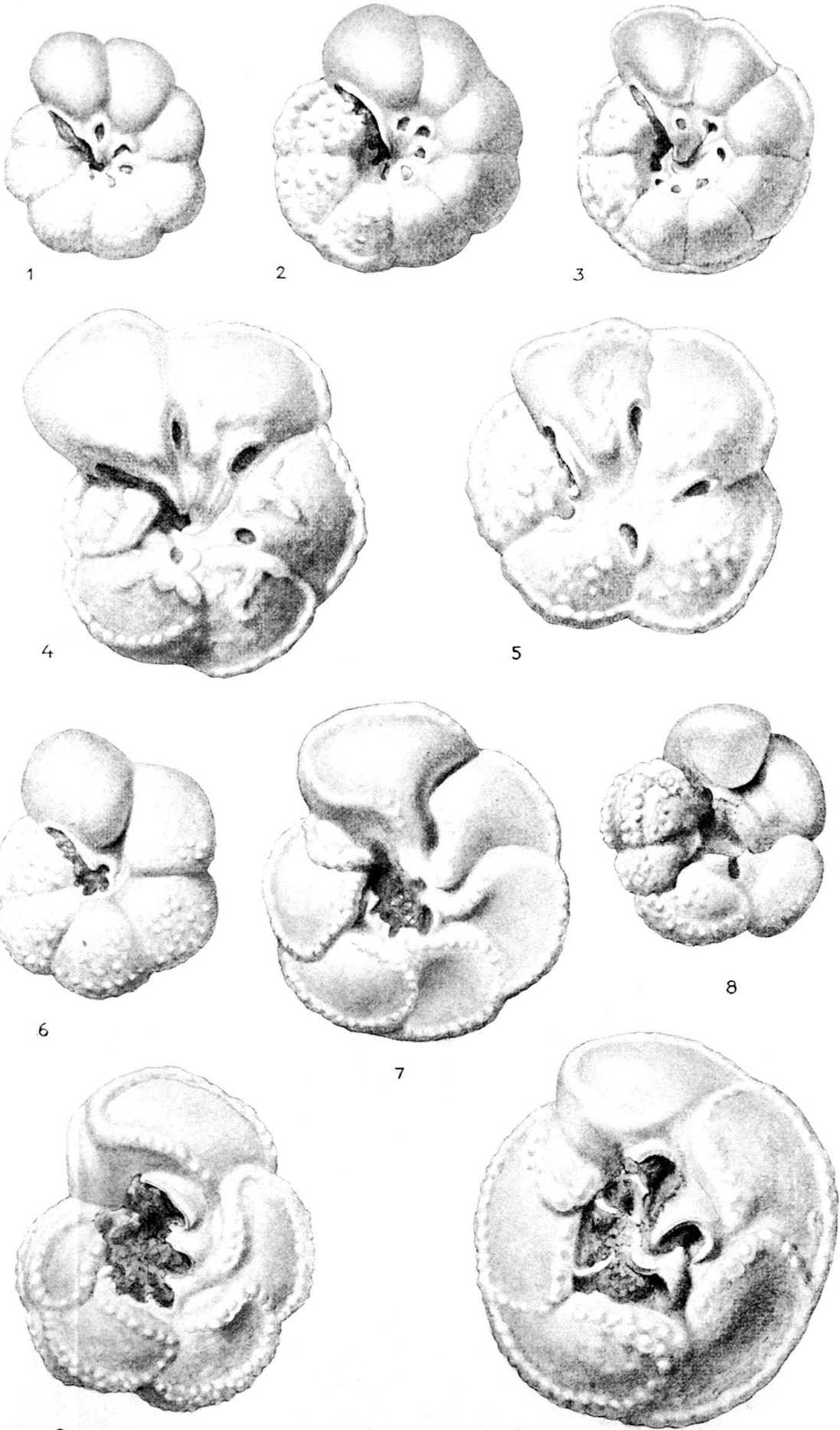


1a-l. *Rotalipora apenninica* RENZ.

Voir l'explication détaillée de la Planche aux pages 595-596.



18a-j, 19-20. *Globotruncana stephani* var. *turbinata* REICHEL.
21-34. *Globotruncana imbricata* n. sp.



MR

